

---

# Grundlagen der elektronischen Messtechnik

## Übung 7: Messbrücken

Prof. Dr.-Ing. Clemens Gühmann  
Daniel Thomanek, M. Sc.

Technische Universität Berlin  
Fakultät IV Elektrotechnik und Informatik  
Institut für Energie und Automatisierungstechnik  
Fachgebiet Elektronische Mess- und Diagnosetechnik

# Übung 7 Messbrücken

## Wozu werden Messbrücken benötigt?

- Mit einer Messbrücke können passive elektrische Bauelemente wie Widerstände, Kapazitäten oder Induktivitäten gemessen werden.
- Bei der direkten Messung mittels Strom und Spannungsmesser führen die Innenwiderstände der Messgeräte zu Messfehlern, was mit einer Messbrücke verhindert werden kann

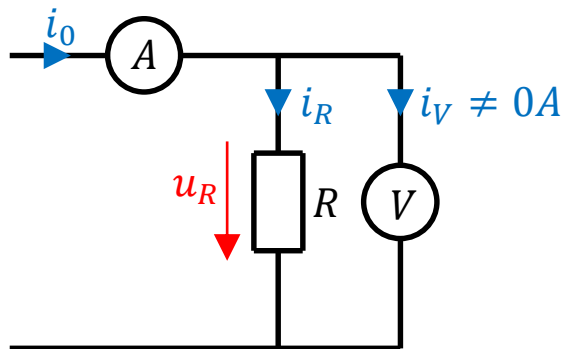


Bild 1: Direkte Messung des Widerstandes  $R$ . Da das Voltmeter in der Realität keinen unendlich hohen Innenwiderstand besitzt, entsteht ein Fehler in der Strommessung, welcher sich auf das Messergebnis auswirkt

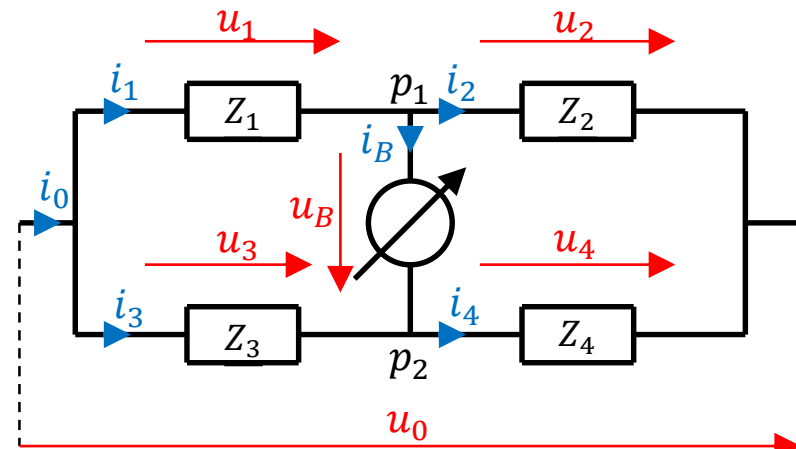


Bild 2: Messung eines Widerstandes mittels Messbrücke. Durch Einstellung der Widerstände wird die Brücke abgeglichen, d.h. die Brückenspannung wird zu 0. Dadurch fließt auch kein Strom mehr durch den Spannungsmesser sodass dessen Innenwiderstand führt zu keinem Fehler mehr führt

# Aufgabe 7.1.1 Vergleich realer/idealer Kondensator

---

- Was sind die Eigenschaften eines idealen Kondensators?
- Wie unterscheidet er sich von einem realen Kondensator?
- Wie sieht das Ersatzschaltbild eines realen Kondensators aus?

# Aufgabe 7.1.1 Vergleich realer/idealer Kondensator

Idealer Kondensator:

- Es gibt keine ohmschen Verluste
- Die Leitungen haben einen  $R = 0$
- Das Dielektrikum hat einen  $R \rightarrow \infty$
- Es wird keine Wirkleistung umgesetzt
- Bei sinusförmigen Größen eilt der Strom der Spannung um exakt  $\frac{\pi}{2}$  voraus

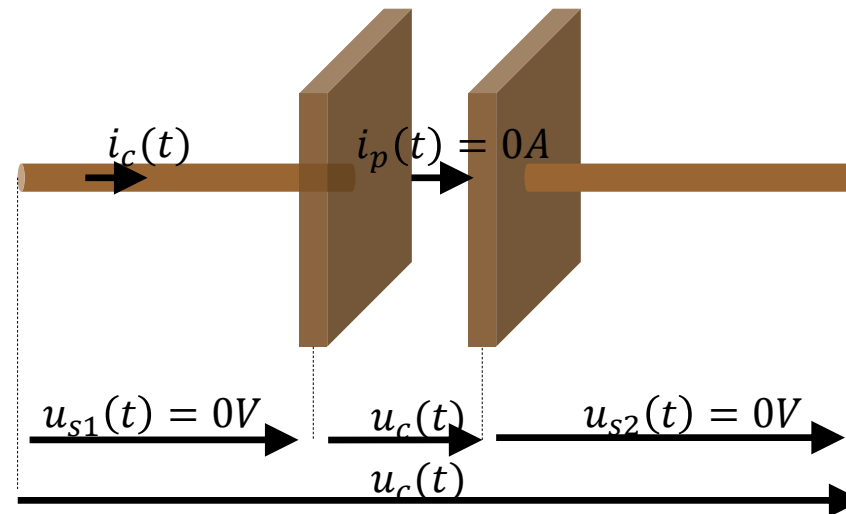


Bild 3: Sinnbild der elektrischen Verhältnisse eines idealen Kondensators

# Aufgabe 7.1.1 Vergleich realer/idealer Kondensator

## Idealer Kondensator:

Beim idealen Kondensator ist der Stromfluss proportional zur Änderung der Spannung:

$$i_c(t) = C \frac{d}{dt} u_c(t)$$

Der Blindwiderstand berechnet sich nach dem ohmschen Gesetz:

$$X_c = \frac{u_c(t)}{i_c(t)}$$

$$X_c = \frac{u_c(t)}{C \cdot \frac{d}{dt} u_c(t)}$$

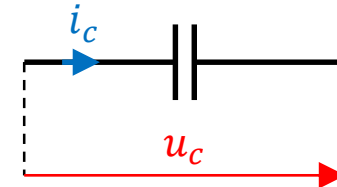


Bild 4: Ersatzschaltbild des idealen Kondensator

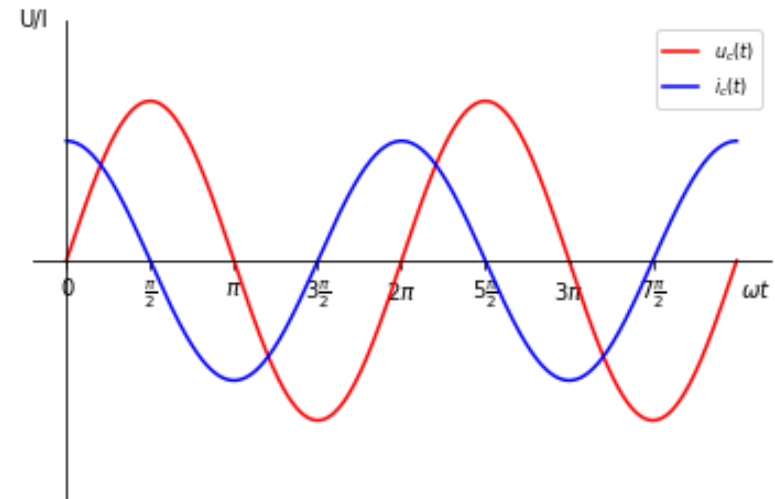


Bild 5: Beim idealen Kondensator eilt der Strom der Spannung um exakt  $\frac{\pi}{2}$  vor

# Aufgabe 7.1.1 Vergleich realer/idealer Kondensator

## Idealer Kondensator:

Bei sinusförmigen Strömen und Spannungen können Komplexe Zahlen angesetzt werden:

$$X_c = \frac{U_c}{I_c} \quad \left| \quad I_c = C \frac{d}{dt} U_c \right.$$

$$X_c = \frac{U_0 e^{j\omega t}}{C \cdot \frac{d}{dt} (U_0 e^{j\omega t})}$$

$$X_c = \frac{U_0 e^{j\omega t}}{C \cdot j\omega \cdot U_0 e^{j\omega t}}$$

$$X_c = \frac{1}{j\omega C}$$

$$X_c = -j \frac{1}{\omega C}$$

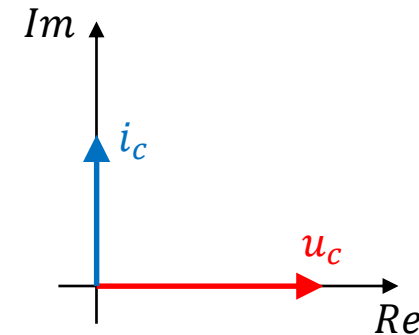


Bild 6: Sinusförmige Ströme und Spannungen können vereinfacht als Komplexe Zahlen dargestellt werden

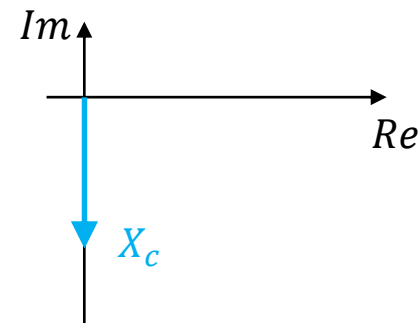


Bild 7: Der Komplexe Blindwiderstand des idealen Kondensators zeigt in Richtung der negativen Imaginär Achse

# Aufgabe 7.1.1 Vergleich realer/idealer Kondensator

Realer Kondensator:

- Es existieren ohmsche sowie dielektrische Verluste
- Die Leitungen haben einen  $R > 0$
- Das Dielektrikum hat einen  $R < \infty$
- Es wird ein Teil Wirkleistung umgesetzt
- Bei sinusförmigen Größen eilt der Strom der Spannung um weniger als  $\frac{\pi}{2}$  voraus

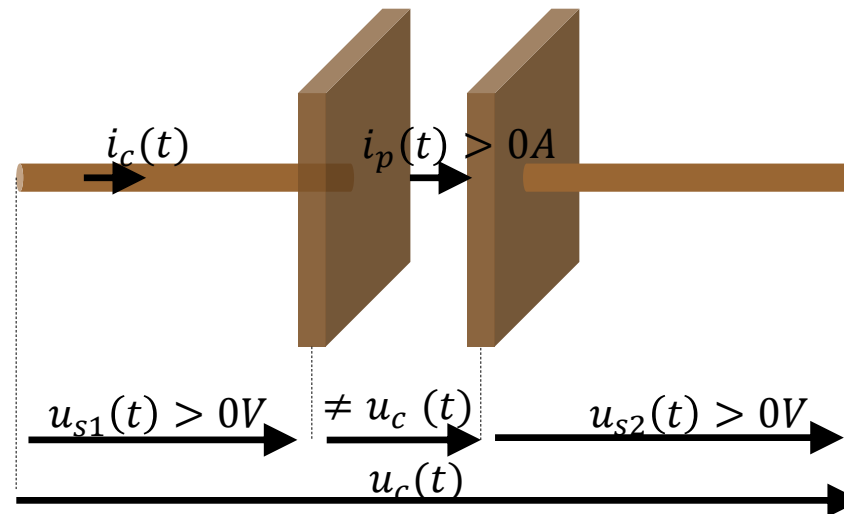


Bild 8: Sinnbild der elektrischen Verhältnisse eines realen Kondensators

# Aufgabe 7.1.1 Vergleich realer/idealer Kondensator

## Realer Kondensator:

Beim realen Kondensator kommt es zu Leitungsverlusten, repräsentiert durch einen in Reihe geschalteten ohmschen Widerstand  $R_s$ , sowie zu dielektrischen Verlusten, repräsentiert durch einen parallel geschalteten ohmschen Widerstand  $R_p$

$$\underline{Z}_c = R_s + \frac{1}{\frac{1}{R_p} + \frac{1}{j\omega C}} = R_s + \frac{1}{\frac{1}{R_p} + j\omega C}$$

Der Strom eilt der Spannung nun nicht mehr um exakt  $\frac{\pi}{2}$  nach. Die Differenz des Phasenwinkels des Stromes zu  $\frac{\pi}{2}$  wird als Verlustwinkel  $\delta$  bezeichnet

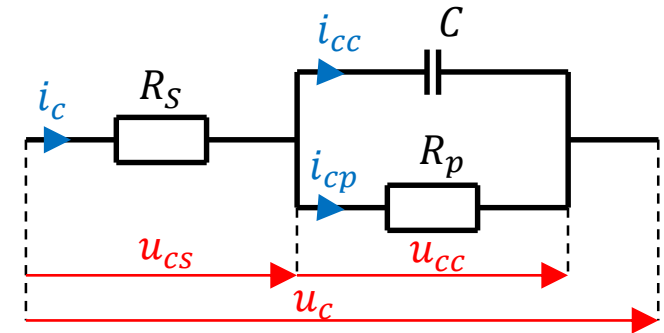


Bild 9: Ersatzschaltbild des realen Kondensators

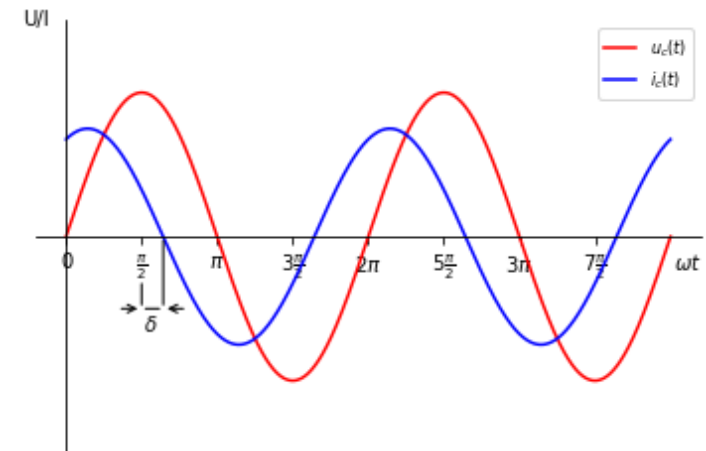


Bild 10: Beim realen Kondensator kommt es zu einem Verlustwinkel  $\delta$



# Aufgabe 7.1.1 Vergleich realer/idealer Kondensator

## Der Verlustfaktor eines realen Kondensators:

Der Tangens des Verlustwinkels  $\delta$  bezeichnet wird als Verlustfaktor bezeichnet. Er entspricht dem Verhältnis des Stromes welcher in Phase mit der Spannung liegt (Wirkstrom) und jenem welcher exakt um  $\frac{\pi}{2}$  Phasenverschoben ist (Blindstrom)

$$\tan(\delta) = \frac{i_{Wirk}}{i_{Blind}}$$

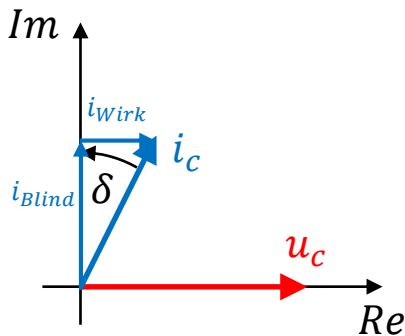


Bild 11: Komplexe Darstellung des Stromes und der Spannung an einem realen Kondensator

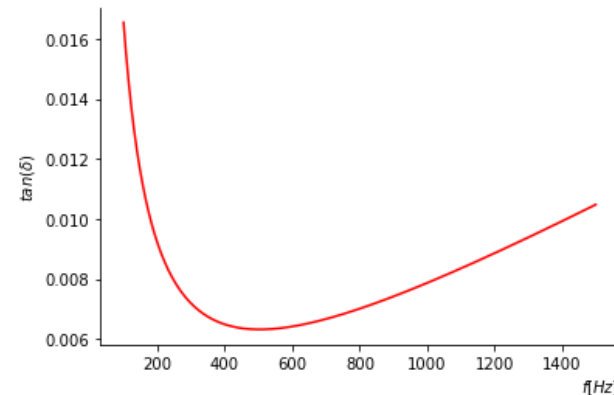


Bild 12: Der Verlustfaktor in Abhängigkeit von der Frequenz für  $R_S = 0.1\Omega$ ,  $R_p = 1k\Omega$ ,  $C = 1\mu F$

# Aufgabe 7.1.1 Vergleich realer/idealer Kondensator

## Vereinfachung des realen Kondensators:

Zur Vereinfachung werden der Betrieb bei niedrigen und hohen Frequenzen unterschieden. Bei niedrigen Frequenzen gilt:

$$\underline{Z}_C = R_s + \frac{1}{\frac{1}{R_p} + j\omega C} \quad \left| \quad \omega \text{ klein} \rightarrow j\omega C \approx 0 \right.$$

$$\underline{Z}_C \approx R_s + \frac{1}{\frac{1}{R_p}} = R_s + R_p$$

Da der ohmsche Widerstand eines Dielektrikums sehr viel größer ist als der ohmsche Widerstand eines Leiters ( $R_s \ll R_p$ ):

$$\underline{Z}_C \approx R_p$$

**Bei niedrigen Frequenzen muss somit nur der ohmsche Widerstand des Dielektrikums betrachtet werden**

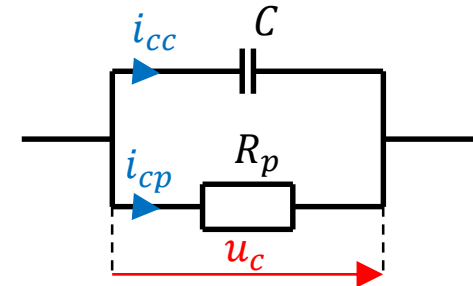


Bild 13: Vereinfachtes Ersatzschaltbild des realen Kondensators bei niedrigen Frequenzen

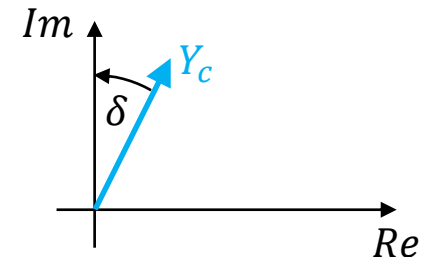


Bild 14: Der komplexe Leitwert des realen Kondensators bei niedrigen Frequenzen. Er ist definiert als  $Y_C = \frac{1}{\underline{Z}_C}$ . In der Parallelschaltung ist die Rechnung mit Leitwerten einfacher als mit Widerständen

# Aufgabe 7.1.1 Vergleich realer/idealer Kondensator

## Vereinfachung des realen Kondensators:

Bei hohen Frequenzen gilt:

$$\underline{Z}_c = R_s + \frac{1}{\frac{1}{R_p} + j\omega C} \quad \left| \quad \omega \text{ hoch} \rightarrow \omega C \gg \frac{1}{R_p} \right.$$

$$\underline{Z}_c \approx R_s + \frac{1}{j\omega C} \quad \left| \quad \omega \text{ hoch} \rightarrow \frac{1}{\omega C} \text{ klein} \right.$$

$$\underline{Z}_c \approx R_s$$

Bei hohen Frequenzen muss somit nur der ohmsche Widerstand des Leiters betrachtet werden

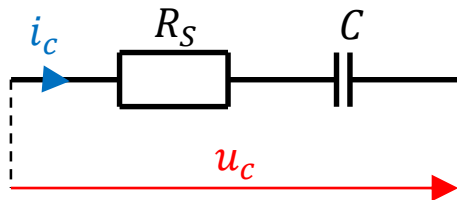


Bild 15: Vereinfachtes Ersatzschaltbild des realen Kondensators bei hohen Frequenzen

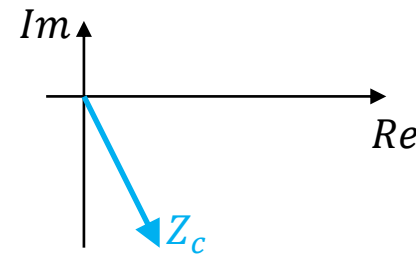


Bild 16: Der komplexe Blindwiderstand des realen Kondensators bei hohen Frequenzen

# Aufgabe 7.1.2 Abgleich einer Wechselstrombrücke

---

- Was sind die allgemeinen Abgleichbedingungen einer Wechselstrombrücke?
- Leiten sie die Abgleichbedingungen für die gegebene Wien-Messbrücke her.
- Die Wien-Messbrücke sei bei den für  $R_2$ ,  $R_3$ ,  $R_4$  und  $C_2$  gegebenen Werten abgeglichen. Berechnen Sie den ohmschen und kapazitiven Anteil der realen Kapazität ( $R_X$  und  $C_X$ ).
- Wie kann messtechnisch überprüft werden, ob eine Wechselstrombrücke abgeglichen ist?

# Aufgabe 7.1.2 Abgleich einer Wechselstrombrücke

## Abgleichbedingung einer Wechselstrombrücke

Die Wechselstrombrücke ist abgeglichen wenn die Potentiale in beiden Brückenzweigen gleich sind:

$$p_1 = p_2$$

Daraus folgt:

$$u_B = 0$$

$$i_B = 0$$

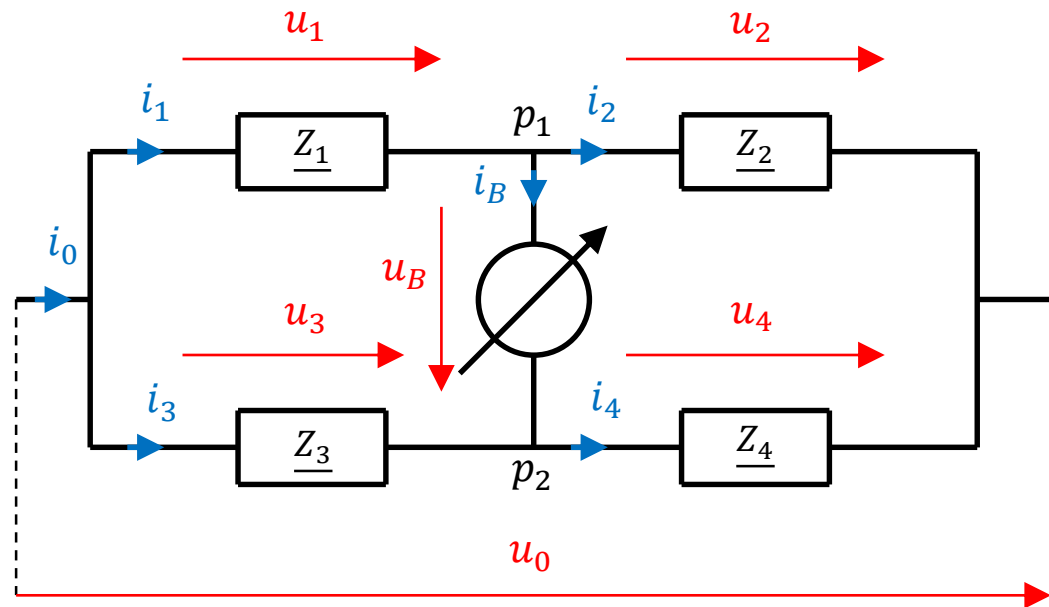


Bild 17: Elektrische Verhältnisse in einer allgemeinen Wechselstrombrücke aus den Impedanzen  $\underline{Z}_1 \dots \underline{Z}_4$ . Da kein Potentialunterschied zwischen  $p_1$  und  $p_2$  besteht, können diese Punkte beliebig elektrisch verbunden oder getrennt werden, ohne Auswirkung auf die restliche Brücke

# Aufgabe 7.1.2 Abgleich einer Wechselstrombrücke

## Abgleichbedingung einer Wechselstrombrücke

Nach der zweiten Kirchhoffschen Regel (Maschensatz) gilt:

$$u_1 + u_B - u_3 = 0$$

Im abgeglichenen Zustand gilt  $u_B = 0$

$$u_1 - u_3 = 0$$

$$u_1 = u_3$$

Für die Spannung  $u_1$  gilt:

$$u_1 = \underline{Z}_1 i_1$$

Da  $i_B = 0$  gilt  $i_1 = i_2$

$$u_1 = \underline{Z}_1 i_2$$

$$u_1 = \underline{Z}_1 \cdot \frac{u_2}{\underline{Z}_2}$$

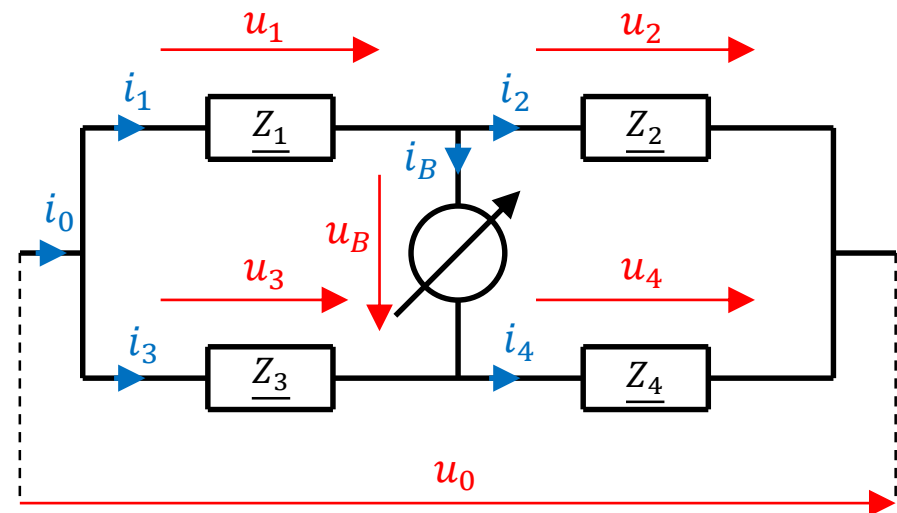


Bild 18: Elektrische Verhältnisse in einer allgemeinen Wechselstrombrücke aus den Impedanzen  $\underline{Z}_1 \dots \underline{Z}_4$ .

# Aufgabe 7.1.2 Abgleich einer Wechselstrombrücke

## Abgleichbedingung einer Wechselstrombrücke

Nach der zweiten Kirchhoffschen Regel (Maschensatz) gilt ebenfalls:

$$u_1 + u_2 - u_0 = 0$$

$$u_2 = u_0 - u_1$$

Daraus folgt:

$$u_1 = \underline{Z}_1 \cdot \frac{u_0 - u_1}{\underline{Z}_2}$$

$$u_1 + \frac{\underline{Z}_1}{\underline{Z}_2} u_1 = \frac{\underline{Z}_1}{\underline{Z}_2} u_0$$

$$u_1 \left(1 + \frac{\underline{Z}_1}{\underline{Z}_2}\right) = \frac{\underline{Z}_1}{\underline{Z}_2} u_0$$

$$u_1 = \frac{\underline{Z}_1}{\underline{Z}_2 + \underline{Z}_1} u_0$$

Dieser Ausdruck wird auch Spannungsteilerformel genannt

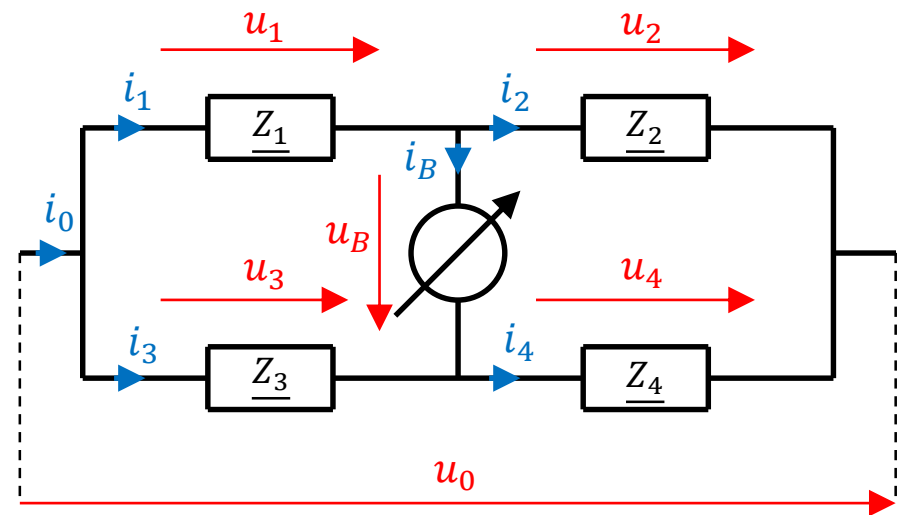


Bild 19: Elektrische Verhältnisse in einer allgemeinen Wechselstrombrücke aus den Impedanzen  $\underline{Z}_1 \dots \underline{Z}_4$ .

# Aufgabe 7.1.2 Abgleich einer Wechselstrombrücke

## Abgleichbedingung einer Wechselstrombrücke

Äquivalent kann die Beziehung zwischen  $u_3$  und  $u_0$  hergeleitet werden

$$u_1 = \frac{\underline{Z}_1}{\underline{Z}_2 + \underline{Z}_1} u_0$$

$$u_3 = \frac{\underline{Z}_3}{\underline{Z}_4 + \underline{Z}_3} u_0$$

Da  $u_1 = u_3$  ergibt sich:

$$\frac{\underline{Z}_1}{\underline{Z}_2 + \underline{Z}_1} u_0 = \frac{\underline{Z}_3}{\underline{Z}_4 + \underline{Z}_3} u_0$$

$$\frac{\underline{Z}_1}{\underline{Z}_2 + \underline{Z}_1} = \frac{\underline{Z}_3}{\underline{Z}_4 + \underline{Z}_3}$$

$$\boxed{\frac{\underline{Z}_1}{\underline{Z}_2} = \frac{\underline{Z}_3}{\underline{Z}_4}}$$

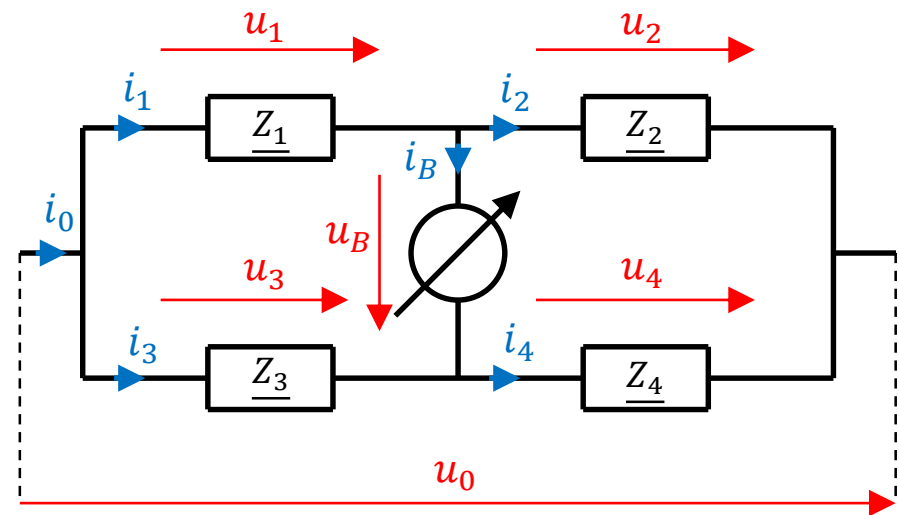


Bild 20: Elektrische Verhältnisse in einer allgemeinen Wechselstrombrücke aus den Impedanzen  $\underline{Z}_1 \dots \underline{Z}_4$ .



# Aufgabe 7.1.2 Abgleich einer Wechselstrombrücke

---

## Abgleichbedingung einer Wechselstrombrücke

Durch Aufschlüsseln der komplexen Impedanzen ergibt sich:

$$\frac{\underline{Z}_1}{\underline{Z}_2} = \frac{\underline{Z}_3}{\underline{Z}_4}$$

$$\frac{Z_1 e^{j\varphi_1}}{Z_2 e^{j\varphi_2}} = \frac{Z_3 e^{j\varphi_3}}{Z_4 e^{j\varphi_4}}$$

$$\frac{Z_1}{Z_2} e^{j(\varphi_1 - \varphi_2)} = \frac{Z_3}{Z_4} e^{j(\varphi_3 - \varphi_4)}$$

Daraus folgt die Abgleichbedingung nach Betrag und Phase:

$$\frac{Z_1}{Z_2} = \frac{Z_3}{Z_4}$$
$$\varphi_1 - \varphi_2 = \varphi_3 - \varphi_4$$

# Aufgabe 7.1.2 Abgleich einer Wechselstrombrücke

## Abgleichbedingung der Wien-Messbrücke

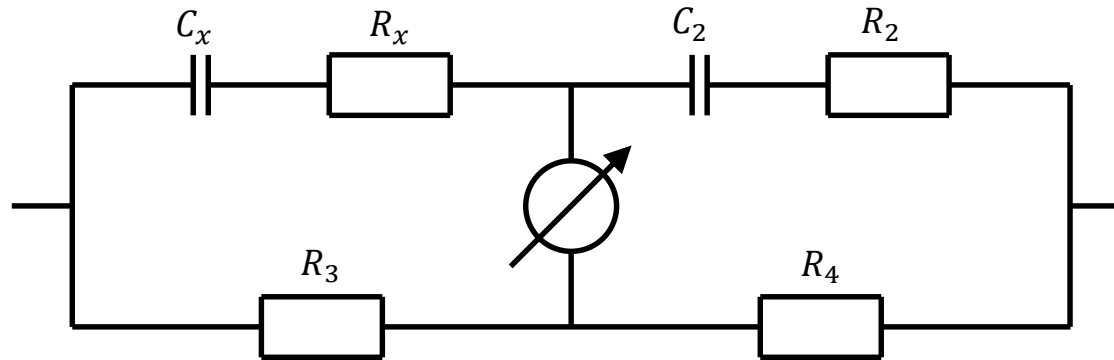


Bild 21: Schaltbild einer Wien-Messbrücke. Der Widerstand und Kondensator mit dem x-Index soll gemessen werden. Hierzu wird die Brücke durch Einstellen von z.B.  $C_2$  und  $R_2$  abgeglichen.

## Ansatz der allgemeinen Abgleichbedingung

$$\frac{\underline{Z}_1}{\underline{Z}_2} = \frac{\underline{Z}_3}{\underline{Z}_4}$$

$$\frac{R_x - j \frac{1}{\omega C_x}}{R_2 - j \frac{1}{\omega C_2}} = \frac{R_3}{R_4}$$

# Aufgabe 7.1.2 Abgleich einer Wechselstrombrücke

## Abgleichbedingung der Wien-Messbrücke

$$\frac{R_x - j \frac{1}{\omega C_x}}{R_2 - j \frac{1}{\omega C_2}} = \frac{R_3}{R_4}$$

$$R_4 \left( R_x - j \frac{1}{\omega C_x} \right) = R_3 \left( R_2 - j \frac{1}{\omega C_2} \right)$$

$$R_4 R_x - j \frac{R_4}{\omega C_x} = R_3 R_2 - j \frac{R_3}{\omega C_2}$$

Zwei komplexe Zahlen sind gleich wenn jeweils der Real- und Imaginärteil gleich sind. Daher folgt für den Realteil:

$$R_4 R_x = R_3 R_2$$

Und für den Imaginärteil

$$-\frac{R_4}{\omega C_x} = -\frac{R_3}{\omega C_2}$$

$$R_4 C_2 = R_3 C_x$$

# Aufgabe 7.1.2 Abgleich einer Wechselstrombrücke

---

Berechnung des ohmschen und kapazitiven Anteils  $R_x$  und  $C_x$

Aus den Abgleichbedingungen folgt für  $R_x$ :

$$R_4 R_x = R_3 R_2$$

$$R_x = \frac{R_3 R_2}{R_4}$$

$$R_x = \frac{R_3 R_2}{R_4} = \frac{2.2k\Omega \cdot 100\Omega}{2.2k\Omega} = 100\Omega$$

Und für  $C_x$ :

$$R_4 C_2 = R_3 C_x$$

$$C_x = \frac{R_4 C_2}{R_3}$$

$$C_x = \frac{R_4 C_2}{R_3} = \frac{2.2\Omega \cdot 150nF}{2.2\Omega} = 150nF$$

# Aufgabe 7.1.2 Abgleich einer Wechselstrombrücke

## Messtechnische Erfassung des Brückenabgleichs

Die Messtechnische Erfassung des Brückenabgleichs kann mittels eines Oszilloskops erfolgen. Hierzu wird die Eingangsspannung  $u_0$  gegenüber der Brückenspannung  $u_B$  im XY-Betrieb angezeigt. Auf diese Weise kann auch der Abgleich nach der Phase erfolgen

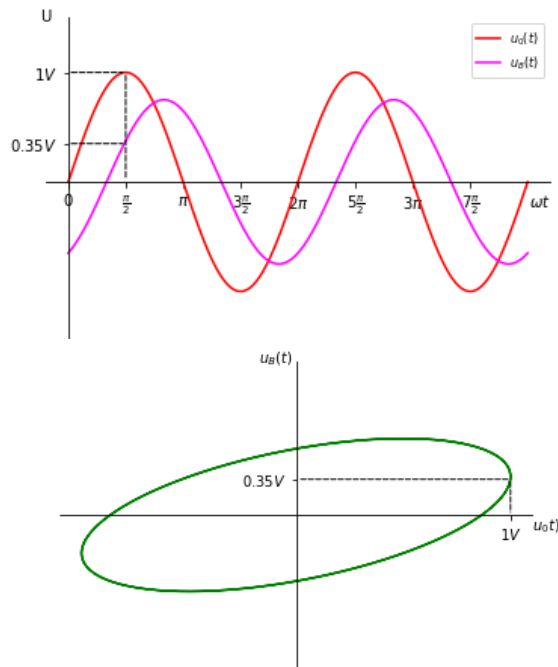


Bild 22: Im XY-Betrieb werden die Spannungswerte, welche zum selben Zeitpunkt gemessen werden als X- und Y- Werte aufgetragen

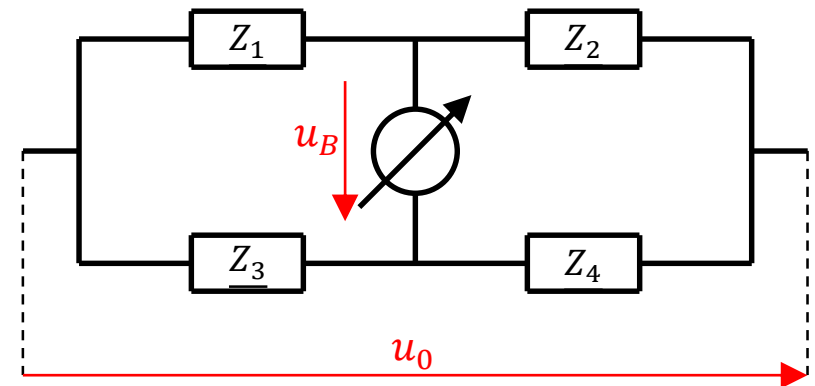


Bild 23: Durch Gegenüberstellung der Eingangs- und Brückenspannung kann der Abgleich mittels eines Oszilloskops erreicht werden

# Aufgabe 7.1.2 Abgleich einer Wechselstrombrücke

## Messtechnische Erfassung des Brückenabgleichs

Beispiele für Bilder im XY-Betrieb des Oszilloskops

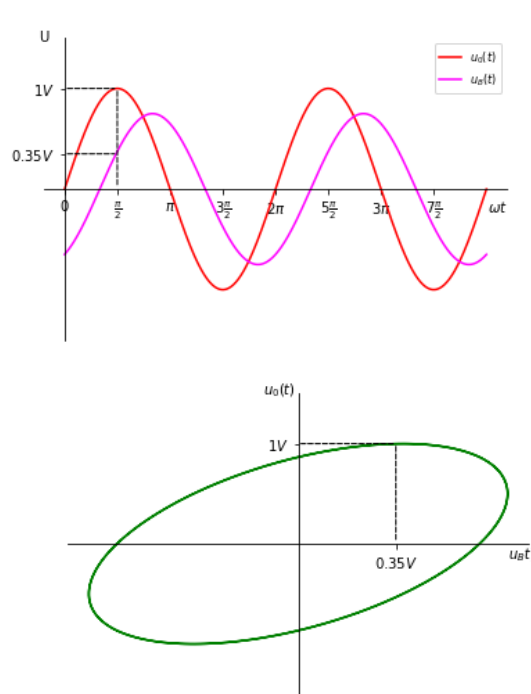


Bild 24: Die Brücke ist weder nach Phase noch nach Amplitude abgeglichen

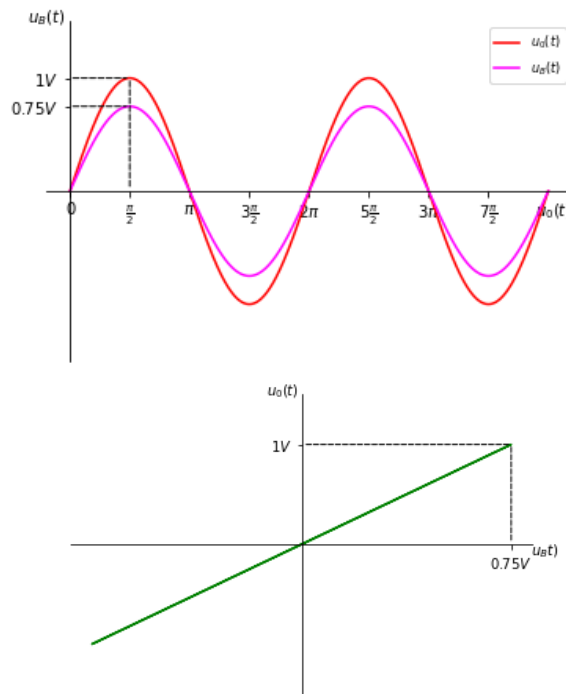


Bild 25: Die Brücke ist nur nach Phase abgeglichen

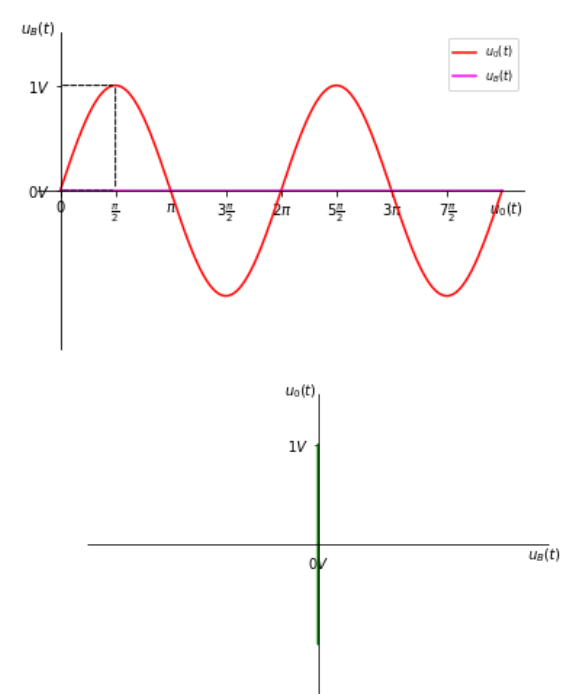


Bild 26: Die Brücke ist nach Phase und Amplitude abgeglichen

# Aufgabe 7.1.3 Empfindlichkeit

---

- Wie ist die Empfindlichkeit einer Messbrücke definiert?
- Wie kann sie gemessen werden?
- Leiten Sie den Ausdruck für die Empfindlichkeit der gegebenen Wien-Messbrücke her.
- Unter welchen Bedingungen erreicht die Empfindlichkeit ihr Maximum?

# Aufgabe 7.1.3 Empfindlichkeit

## Definition der Empfindlichkeit einer Messbrücke

Im abgeglichenen Zustand wird das Verhalten der Brückenspannung bei kleinen Änderungen der zu messenden Impedanz  $Z_x$  beobachtet

$$E = \left| \frac{\partial u_B}{\partial Z_x} \right|$$

Nach dem Maschensatz gilt ( $U_B$  wird nicht mehr als 0 angenommen)

$$u_1 + u_B - u_3 = 0$$

$$u_B = u_3 - u_1$$

Die Anwendung der Spannungsteilerregel ergibt

$$u_B = \frac{\underline{Z}_3}{\underline{Z}_4 + \underline{Z}_3} u_0 - \frac{\underline{Z}_x}{\underline{Z}_2 + \underline{Z}_x} u_0$$

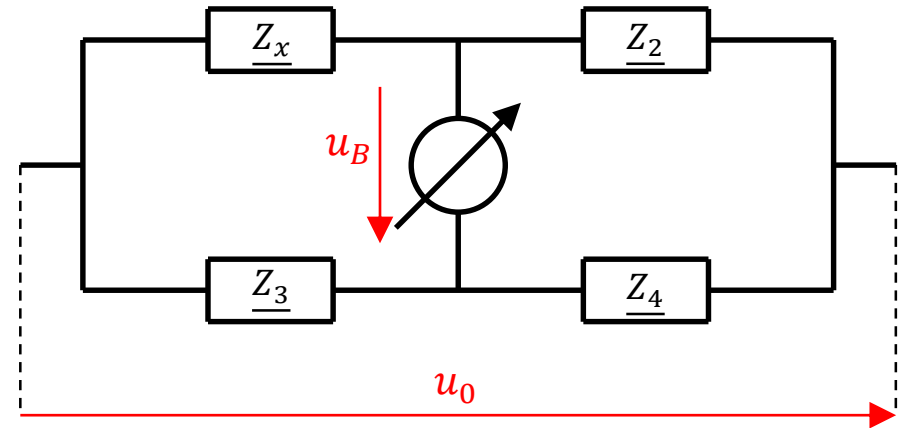


Bild 27: Bei der Empfindlichkeit der Messbrücke wird die Änderung der Brückenspannung in Abhängigkeit von der Änderung der zu messenden Impedanz betrachtet



# Aufgabe 7.1.3 Empfindlichkeit

## Definition der Empfindlichkeit einer Messbrücke

$$E = \left| \frac{\partial u_B}{\partial \underline{Z}_x} \right| \quad \left| \quad u_B = \frac{\underline{Z}_3}{\underline{Z}_4 + \underline{Z}_3} u_0 - \frac{\underline{Z}_x}{\underline{Z}_2 + \underline{Z}_x} u_0 \right.$$

$$E = \left| \frac{\partial}{\partial \underline{Z}_x} \left( \frac{\underline{Z}_3}{\underline{Z}_4 + \underline{Z}_3} u_0 - \frac{\underline{Z}_x}{\underline{Z}_2 + \underline{Z}_x} u_0 \right) \right|$$

$$E = \left| -u_0 \cdot \frac{\partial}{\partial \underline{Z}_x} \left( \frac{\underline{Z}_x}{\underline{Z}_2 + \underline{Z}_x} \right) \right|$$

$$E = \left| -u_0 \cdot \left[ \frac{\underline{Z}_2}{(\underline{Z}_x + \underline{Z}_2)^2} \right] \right|$$

$$E = \left| \frac{\underline{Z}_2 u_0}{(\underline{Z}_x + \underline{Z}_2)^2} \right|$$

# Aufgabe 7.1.3 Empfindlichkeit

## Ermittlung der Empfindlichkeit

Es kann eine Impedanz parallel zu der einstellbaren Impedanz geschaltet werden. Ist die Brücke abgeglichen, wird die parallele Impedanz zugeschaltet und die Änderung der der Brückenspannung beobachtet

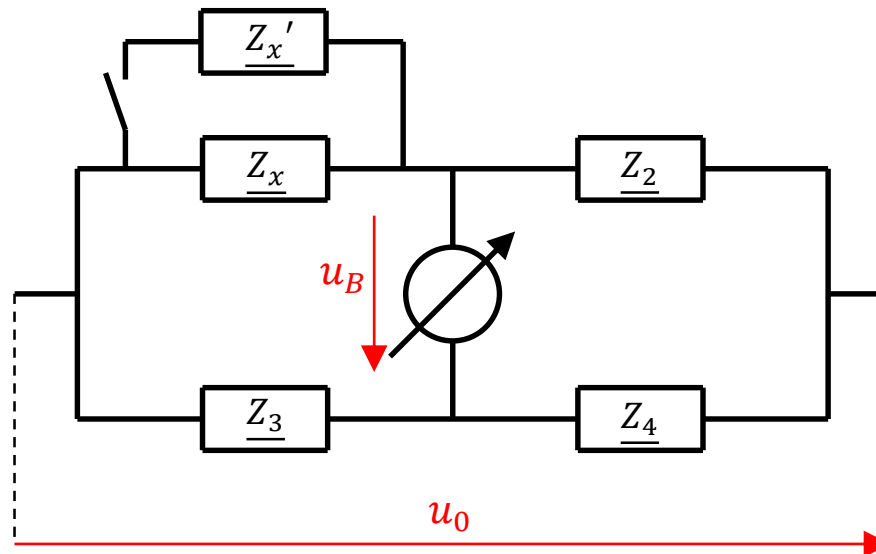


Bild 28: Schaltung zur Bestimmung der Empfindlichkeit der Messbrücke

# Aufgabe 7.1.3 Empfindlichkeit

## Die maximale Empfindlichkeit einer Messbrücke

Wie muss  $Z_2$  gewählt werden, damit die Empfindlichkeit maximal wird?

$$0 = \frac{\partial E}{\partial \underline{Z_2}}$$

$$E = - \frac{\underline{Z_2} u_0}{(\underline{Z_x} + \underline{Z_2})^2}$$

$$0 = -u_0 \frac{\partial}{\partial \underline{Z_2}} \left( \frac{\underline{Z_2}}{(\underline{Z_x} + \underline{Z_2})^2} \right)$$

$$0 = -u_0 \left( - \frac{\underline{Z_2} - \underline{Z_x}}{(\underline{Z_x} + \underline{Z_2})^3} \right)$$

$$0 = \frac{\underline{Z_2} - \underline{Z_x}}{(\underline{Z_x} + \underline{Z_2})^3}$$

$$0 = \underline{Z_2} - \underline{Z_x}$$

$$\underline{Z_x} = \underline{Z_2}$$

# Aufgabe 7.2.1 Fehlerrechnung für eine Wien-Messbrücke

## Fehlerbetrachtung in der Wien-Messbrücke

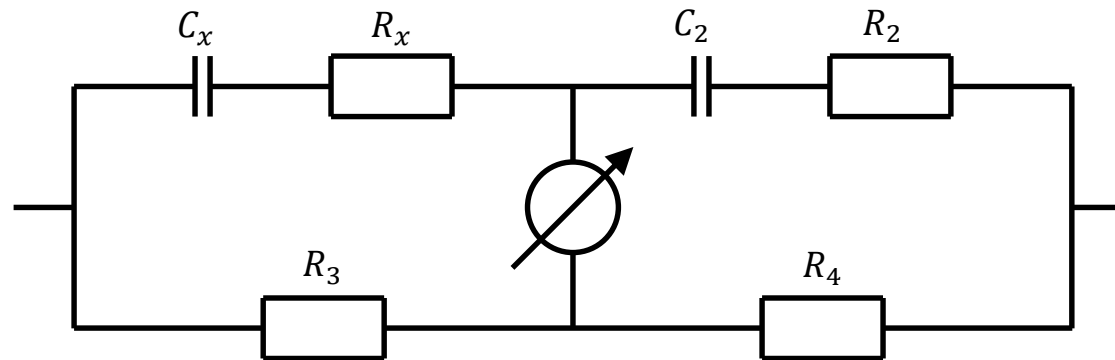


Bild 29: Die Wien-Messbrücke. In der Realität haben alle elektrischen Bauteile Abweichungen von ihren Nenngößen

Es gelten die in 7.1.2 hergeleiteten Abgleichbedingungen

$$R_x = \frac{R_3 R_2}{R_4}$$

$$C_x = \frac{R_4 C_2}{R_3}$$

# Aufgabe 7.2.1 Fehlerrechnung für eine Wien-Messbrücke

---

## Fehlerangabe des Herstellers:

Der Hersteller gibt die maximale Abweichung seines Bauteils von dem Nennwert in % an. Diese kann in der Regel sowohl positiv als auch negativ ausfallen:

$$R = 100\Omega \pm 0.1\%$$

Die Angabe in % bezieht sich auf den Nennwert. Im obigen Beispiel gilt also eine maximale Abweichung von

$$e_{max} = 0.1\% \cdot 100\Omega = 0.1\Omega$$

Der Widerstand kann also im Bereich zwischen  $99.9\Omega$  und  $100.1\Omega$  jeden Wert haben.

**Für die Fehlerrechnung wird die mittlere Abweichung (d.h. Standardabweichung) vom Nennwert benötigt**

# Aufgabe 7.2.1 Fehlerrechnung für eine Wien-Messbrücke

## Fehlerverteilung

Wenn nicht anders angegeben, wird ein im Intervall zwischen  $-e_{max}$  und  $e_{max}$  gleichverteilter Fehler angenommen. D.h. dass jeder Fehler in diesem Intervall gleich Wahrscheinlich ist. Es wird somit die stetige Gleichverteilung angesetzt

Der Erwartungswert entspricht somit:

$$E[X] = \frac{-e_{max} + e_{max}}{2} = 0$$

Und die Varianz

$$\sigma^2[X] = \frac{(-e_{max} - e_{max})^2}{12} = \frac{4e_{max}^2}{12} = \frac{e_{max}^2}{3}$$

Aus der Varianz folgt die Standardabweichung

$$\sigma[X] = \frac{e_{max}}{\sqrt{3}}$$

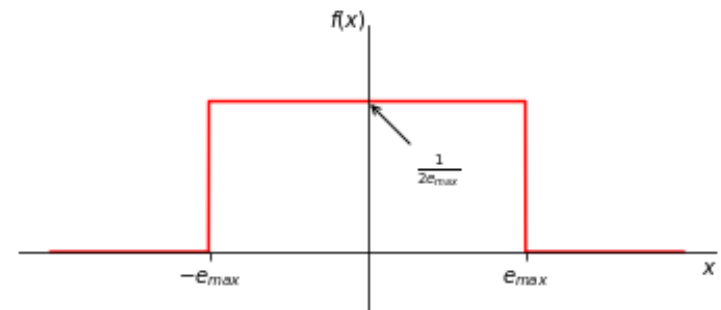


Bild 30: Die Verteilungsdichtefunktion der stetigen Gleichverteilung. Zwischen den maximalen Abweichungen sind alle Fehler gleich Wahrscheinlich

# Aufgabe 7.2.1 Fehlerrechnung für eine Wien-Messbrücke

## Standardabweichungen nach der stetigen Gleichverteilung

Es können die Standardabweichungen aus den Fehlerangaben der Hersteller nun wie folgt berechnet werden

$$\sigma[X] = \frac{e_{max}}{\sqrt{3}}$$

Daraus folgen die folgenden Werte für die gegebenen Bauteile

Bauteil	$R_2$	$C_2$	$R_3$	$R_4$
Nennwert	$100\Omega$	$150nF$	$2.2k\Omega$	$2.2k\Omega$
Toleranz	$\pm 0.1\%$	$\pm 5\%$	$\pm 0.1\%$	$\pm 0.1\%$
$e_{max}$	$0.1\Omega$	$7.5nF$	$2.2\Omega$	$2.2\Omega$
$\sigma[X]$	$0.058\Omega$	$4.330nF$	$1.270\Omega$	$1.270k\Omega$

# Aufgabe 7.2.1 Fehlerrechnung für eine Wien-Messbrücke

---

Berechnung des absoluten Fehlers:

Der absolute Fehler kann nun mittels des totalen Differentials ermittelt werden:

$$u_y^2 = \sum_{i=1}^N \left( \frac{\partial y}{\partial x_i} u_i \right)^2$$

Für den ohmschen Anteil ergibt sich:

$$y = R_x = \frac{R_3 R_2}{R_4}$$

$$u_R^2 = \left( \frac{\partial R_x}{\partial R_2} \sigma[R_2] \right)^2 + \left( \frac{\partial R_x}{\partial R_3} \sigma[R_3] \right)^2 + \left( \frac{\partial R_x}{\partial R_4} \sigma[R_4] \right)^2$$



# Aufgabe 7.2.1 Fehlerrechnung für eine Wien-Messbrücke

---

Berechnung des absoluten ohmschen Fehlers:

$$u_y^2 = \left( \frac{\partial R_x}{\partial R_2} \sigma[R_2] \right)^2 + \left( \frac{\partial R_x}{\partial R_3} \sigma[R_3] \right)^2 + \left( \frac{\partial R_x}{\partial R_4} \sigma[R_4] \right)^2$$

Berechnung der Ableitungen:

$$\frac{\partial R_x}{\partial R_2} = \frac{\partial}{\partial R_2} \left( \frac{R_3 R_2}{R_4} \right) = \frac{R_3}{R_4}$$

$$\frac{\partial R_x}{\partial R_3} = \frac{\partial}{\partial R_3} \left( \frac{R_3 R_2}{R_4} \right) = \frac{R_2}{R_4}$$

$$\frac{\partial R_x}{\partial R_4} = \frac{\partial}{\partial R_4} \left( \frac{R_3 R_2}{R_4} \right) = -\frac{R_3 R_2}{R_4^2}$$

Durch Einsetzen der Ableitungen ergibt sich:

$$u_y^2 = \left( \frac{R_3}{R_4} \sigma[R_2] \right)^2 + \left( \frac{R_2}{R_4} \sigma[R_3] \right)^2 + \left( -\frac{R_3 R_2}{R_4^2} \sigma[R_4] \right)^2$$

# Aufgabe 7.2.1 Fehlerrechnung für eine Wien-Messbrücke

Berechnung des absoluten ohmschen Fehlers:

$$u_y^2 = \left( \frac{R_3}{R_4} \sigma[R_2] \right)^2 + \left( \frac{R_2}{R_4} \sigma[R_3] \right)^2 + \left( -\frac{R_3 R_2}{R_4^2} \sigma[R_4] \right)^2$$

Einsetzen der Werte ergibt:

$$u_y^2 = \left( \frac{2.2k\Omega}{2.2k\Omega} 0.058\Omega \right)^2 + \left( \frac{100\Omega}{2.2k\Omega} 1.270\Omega \right)^2 + \left( -\frac{2.2k\Omega \cdot 100\Omega}{2.2k\Omega^2} 1.270\Omega \right)^2$$

$$u_y^2 = (0.058\Omega)^2 + (0.058\Omega)^2 + (0.058\Omega)^2$$

$$u_y^2 = 0.010\Omega^2$$

$$u_y^2 = 0.010\Omega^2$$

$$u_y = 0.100\Omega$$

# Aufgabe 7.2.1 Fehlerrechnung für eine Wien-Messbrücke

---

## Berechnung des absoluten kapazitiven Fehlers:

Für den kapazitiven Fehler ergibt sich:

$$y = C_x = \frac{R_4 C_2}{R_3}$$
$$u_y^2 = \left( \frac{\partial C_x}{\partial R_4} \sigma[R_4] \right)^2 + \left( \frac{\partial C_x}{\partial C_2} \sigma[C_2] \right)^2 + \left( \frac{\partial C_x}{\partial R_3} \sigma[R_3] \right)^2$$

## Berechnung der Ableitungen

$$\frac{\partial C_x}{\partial R_4} = \frac{\partial}{\partial R_4} \left( \frac{R_4 C_2}{R_3} \right) = \frac{C_2}{R_3}$$

$$\frac{\partial C_x}{\partial C_2} = \frac{\partial}{\partial C_2} \left( \frac{R_4 C_2}{R_3} \right) = \frac{R_4}{R_3}$$

$$\frac{\partial C_x}{\partial R_3} = \frac{\partial}{\partial R_3} \left( \frac{R_4 C_2}{R_3} \right) = -\frac{R_4 C_2}{R_3^2}$$

# Aufgabe 7.2.1 Fehlerrechnung für eine Wien-Messbrücke

---

Berechnung des absoluten kapazitiven Fehlers:

$$u_y^2 = \left( \frac{C_2}{R_3} \sigma[R_4] \right)^2 + \left( \frac{R_4}{R_3} \sigma[C_2] \right)^2 + \left( -\frac{R_4 C_2}{R_3^2} \sigma[R_3] \right)^2$$

Einsetzen der Werte ergibt:

$$u_y^2 = \left( \frac{150nF}{2.2k\Omega} 1.270\Omega \right)^2 + \left( \frac{2.2k\Omega}{2.2k\Omega} 4.330nF \right)^2 + \left( -\frac{2.2k\Omega \cdot 150nF}{(2.2k\Omega)^2} 1.270\Omega \right)^2$$

$$u_y^2 = (0.086nF)^2 + (4.330nF)^2 + (0.086nF)^2$$

$$u_y^2 = 18.764(nF)^2$$

$$u_y = 4.331nF$$

---

# Vielen Dank für Ihre Aufmerksamkeit

Prof. Dr.-Ing. Clemens Gühmann  
Daniel Thomanek, M. Sc.

Technische Universität Berlin  
Fakultät IV Elektrotechnik und Informatik  
Institut für Energie und Automatisierungstechnik  
Fachgebiet Elektronische Mess- und Diagnosetechnik